

시간 푸리에 해석에 의한 근전신호 해석

신승현^{*} 임현수^{*} 허웅^{*}
 * : 명지대 전자공학과

A EMG Signal Analysis by the Short Time Fourier Analysis

신승현^{*} 임현수^{*} 허웅^{*}
 * : Myung Ji University

ABSTRACT

In this paper, a method of the measurement the degree of the muscle fatigue by Short Time Fourier Analysis of the EMG signals from human biceps in the action state is proposed. For this purpose, fatigue state and recovery state of 10 persons EMG signals are sampled. And then spectrum centroids are analyzed with respect to the change of sample time window. As result of 10 persons experiment, we know that person A is most good recovery state.

I. 서 론
 작업수행이나 각종 운동경기 및 일상생활에서 가 장 중요한 역할을 하는 것이 근육이라 할 수 있다. 이러한 근육이 수축할 때 발생하는 전기적인 신호를 근전도 신호(EMG signal)라 한다.

근전도는 제2차 세계대전 이후 전상자에 대한 보 철기구의 제어 신호원으로 사용하고자 하는 의도로 서부터 연구가 시작되었으며 최근에는 근육의 변화에 따른 근전도 신호의 변화를 분석하여 운동 단위 수를 파악함으로써 근육 피로도의 척도로 이용되고 있다.

일반적으로 근육이 수축할 때 근전도 신호는 10Hz 가량되는 운동신경 젤스에 따른 발생비율의 변화와 작용하는 운동단위 수의 변화에 의해 조정된다.

근육이 발휘하는 힘의 적거나 피로가 발생되거나 때는 적은 수의 운동단위가 작용하며, 운동 단위는 비교적 높은 주파수의 운동전위에 의하여 활동이 시작된다. 반면에 큰 힘을 발휘하거나 피로가 발생되면 근육에 작용하는 운동단위가 증가하며 이를 위한 운동전위의 낮은 주파수에서 높은 이득을 갖는다. 또한 회복시에는 운동단위가 감소하여 높은 주파수로 천이 힘을 알 수 있다. [1][2]

따라서, 본 연구의 목적은 근전도 신호를 안정화된 신호라 가정하고, 시간에 따른 근전신호의 주파수 변환을 단시간 푸리에 변환(STFT)를 사용하여 전력 스펙트럼 밀도(PSD)를 구하므로서 근육운동에서 발생하는 신호를 운동량의 변화에 대한 근육의 피로 상태와 회복상태를 시간에 따른 주파수 분포의 변화를 추정하므로서 효과적으로 측정할 수 있는 방법을 제시하였다. 따라서 이 근전신호 해석을 이용 하므로써 각종 스포츠과학과 우수선수 선발 등에 이용될 수 있을 것이다.

II. 근전도 신호 처리

2-1. 근전도 신호
 인체의 운동은 근육이 수축하는 힘에 의해서 이루어지며, 이러한 근육의 수축으로 발생되는 전위 분포 변화를 검출하여 기록한 신호를 EMG 신호라 한다. 이 EMG 신호는 근육이 수축할 때 운동 단위

들의 자극에 의해 이루어지며 이러한 운동 단위의 구성요소는 그림 2-1과 같다.

EMG 신호는 신경 축색 물기에 의해 근육 섬유에 자극되어 수축할 때 일어나는 전위의 변화는 약 5~10ms의 지속시간을 가지며, 따라서 단위운동에 포함된 전체 근 섬유가 수축하게 된다.

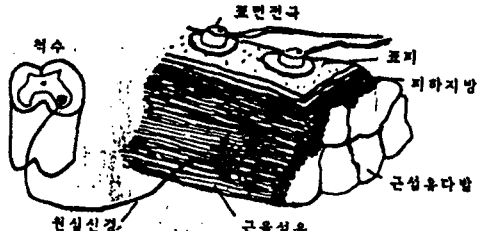


Fig. 2-1. The element of motor unit

근전도 신호는 전극(electrode)이 전기장내에 위치하여 운동전위의 편자를 검출한 것이며, 각각의 근 섬유에 대한 운동전위들이 합해져 근전도 신호가 발생하게 된다. 이러한 신호의 크기는 $50 \mu V \sim 1mV$ 의 정두지를 갖으며 주파수의 특징은 근육에 따라 10Hz ~ 3KHz의 범위를 갖는다.

2-2. 근전신호의 스펙트럼 추정
 근전도 신호를 시간에 따라 중심 스펙트럼 변화를 추정하기 위하여 단시간 푸리에 해석(STFA)을 사용한다. STFA는 이동 창(sliding window)에 의하여 샘플링된다. 각 창의 위치에서 샘플된 신호가 푸리에 변환되고 스펙트럼이 계산된다. 근전신호의 $M(t)$ 의 STFA는 다음과 같이 정의된다.

$$m(f, \tau) = \int M(t) W(\tau-t) e^{-j2\pi ft} dt \quad (1)$$

여기서, $M(t)$ 는 근전신호이고 $W(\tau-t)$ 는 이동 시간 창이며, 창의 위치는 τ 이다. 위의 식에서 구해진 $m(f, t)$ 의 스펙트럼 중심을 구하기 위하여 n 의 모멘트(moment)를 정의하면

$$mn(\tau) = \int f f^n |m(f, \tau)| df \quad (2)$$

스펙트럼 중심과 분산은 다음과 같다.

$$fc(\tau) = \frac{m(\tau)}{mn(\tau)} \quad (3)$$

$$\sigma^2(\tau) = \frac{m^2(\tau)}{mn(\tau)} - \frac{m(\tau)^2}{mn(\tau)} \quad (4)$$

스펙트럼 바이어스를 줄이기 위하여 이동 창에 창 합수를 사용하는데 일반적인 창 합수는 다음과 같다.

$$W(t) = \alpha + (1-\alpha) \cos(2\pi f t) \quad (5)$$

[특히], $\alpha=0.54$ 일 때 $W(l)$ 를 하밍 창(Hamming window) 합수라 하며, 본 실험에서 사용한 창 합수이다.

III. 시스템 구성

3-1. 근전도 신호의 검출 장치
본 논문에서는 피부와 전극간의 임피던스를 최소화시키기 위하여, Ag-AgCl 표면 전극을 사용하여 근전도 신호를 검출하였다.

전극의 부착 위치는 팔에 힘을 주며 굽힐 때의 이두박근(biceps)에서 가장 두르러지게 뛰어 나온 부분에 주 전극인 (+) 전극을, 그 반쪽으로 3cm 정도 떨어진 부분에 부 전극인 (-) 전극을, 그리고 아래의 관절 부위의 뼈 가까이에 접지 전극을 부착하였다.

그림 3-1은 근전도 신호의 검출 과정을 나타내는 블록 선도이다. 이두박근에서 검출한 EMG 신호를 증폭 및 여파하여 오실로스코프로 관찰하면서 A/D 변환기를 통하여 컴퓨터에 입력 시켰다.

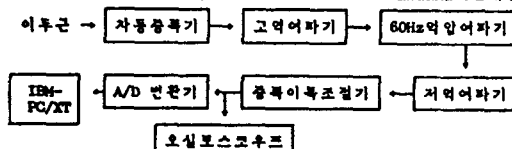


Fig. 3-1. Block diagram of EMG signal processing system

본 시스템에서 사용된 자동 증폭기의 입력 임피던스는 $1M\Omega$ 이고, 이득은 ~2000 배이고 통상 성분 제거비(GMRR)는 90dB로 제작하였으며, 여파기의 대역폭은 $10\text{Hz} \sim 700\text{Hz}$ 로 하였다. 또한, 정현 여파기를 통하여 전원에 인가되는 60Hz 의 잡음을 제거하였다.

여파기 후단의 증폭기는 A/D 변환기의 입력 신호의 크기에 맞추기 위함 것으로 $10K\Omega$ 가변 저항을 사용하여 이득을 조정하였다.

근전 신호의 크기는 $50\mu\text{V} \sim 1\text{mV}$ 정도로서 주파수의 특징은 일 반적으로 $10\text{Hz} \sim 3\text{kHz}$ 정도이므로, 본 연구에서는 근전 신호에 대한 샘플링 주파수를 6kHz 로 하였고, A/D 변환기는 12비트 AD574를 사용하였다.

3-2. 실험 방법

본 연구에서는 피검자 10인을 임의로 선발하여 근육의 피로 정도와 회복 정도를 조사하였다. 실험은 두 가지 조건으로 구분하여 실현하였다.

첫 번째 조건은 부하 조건을 1.5kg 으로 하여 근육이 피로 상태가 될 때, 네 5초마다 1회씩 힘을 주면서 10분간 120회의 반복 동작으로 근육의 상태를 측정하였다.

두 번째 조건은 반복된 동작에서 근육의 고통을 느낄 때 즉, 피로 상태에서 회복 기간을 30초 간격으로 15분간 30회의 반복 동작으로 근육의 상태를 측정하였다.

3-3. 결과 및 고찰

본 연구에서는 부하량의 변화로 인한 근 피로 상태보다는 일정 운동량의 반복에 따른 피로 상태를 유발하고 그 회복 과정을 실험하였다.

피검자는 근육 및 신경계통의 질환 경력이 없는 10인에 대한 결과 중 일부의 피검자 3인에 대한 결과만을 선정하여 나타내었다. 이들 피검자에 대한 인체 측정자료가 표 1에 나타내었다.

Table 1. The measurement contents of the human body

측정 내용	측정자		
	A	B	C
연령	26	26	24
신장(cm)	173	175	175
체중(kg)	69	61	69
이두박근의 둘레			
수축 시(cm)	31	30	29
이완 시(cm)	28	26	25
비고	운동경력 3년	운동경력 1년	

각 경우의 근전도 신호에 시간에 대하여 주파수 분포 변화를 구하기 위해 각 신호에 1024점의 톱을 갖는 이동 시간을 굽하여 스펙트럼을 추정한다. 이 시간 창은 시간에 따라 이동하면서 스펙트럼을 구하면 각 신호는 시간 변화에 따른 주파수 분포를 추정할 수가 있다.

예를 들면, 하나의 근전도 신호 전체 데이터가 4608개라면 그림 3-2와 같이 X로 표시되는 시간 창을 X1에서 X8로 이동하면서 각각 1024개의 데이터를 취해 스펙트럼을 추정한다. 이때 시간 창의 이동거리는 임의로 정할 수 있으나, 본 실험에서는 512점씩 이동하였다. 스펙트럼 추정 시 단정파 형태의 시간 창은 스펙트럼 바이어스가 크게 존재하므로 이를 줄이기 위해 식(5)와 같은 침침수를 사용한다. 또한 각 스펙트럼의 중심은 식(2)와 식(3)을 사용하여 구하였다.

그림 3-3은 피검자 A가 부하량 1.5kg 로 10회(5분 정도) 반복하여 얻은 신호가 (a)이고 그에 따른 스펙트럼 중심의 변화를 시간에 따른 주파수 전이 변화로 (b)에 나타냈으며, 마찬가지로 그림 3-4는 피검자 B에 대한 10회(5분 정도)에 대한 신호(a)와 스펙트럼 중심 변화 (b), 그림 3-5는 피검자 C에 대한 10회(5분 정도)에 대한 신호(a)와 스펙트럼 중심 변화 (b)의 결과이다.

또한 피검자가 반복 회수를 120회(15분 정도)로 하았을 때 심한 피로 상태에서 회복되는 과정의 근전도 신호와 주파수 변화를 그림 3-6, 그림 3-7, 그림 3-8에 피검자 A, B, C에 대한 15분 후의 회복 상태를 나타내었다.

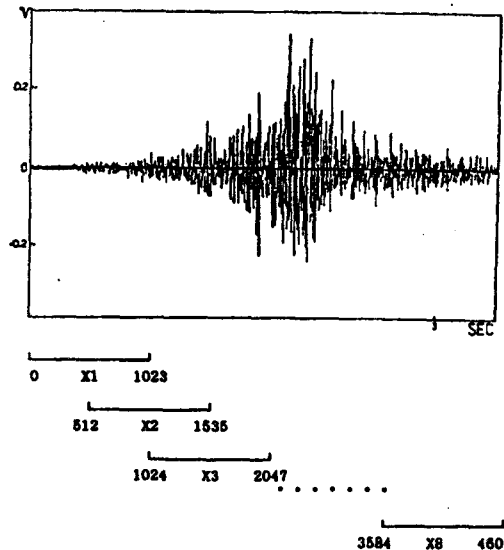
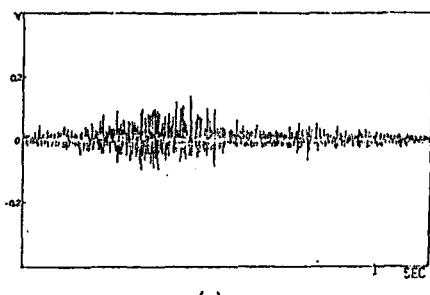


Fig. 3-2. Sample EMG Signal sliding time window positions.



(a)

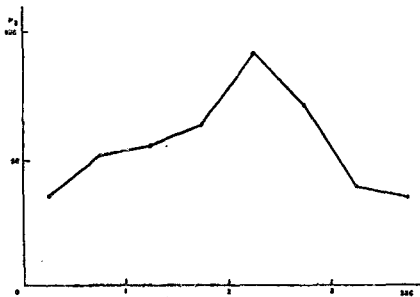
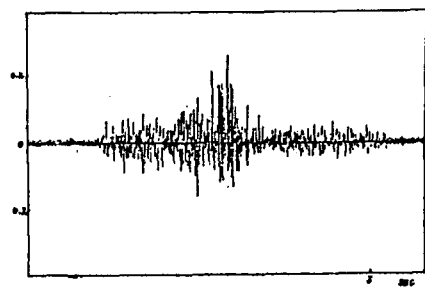


Fig.3-3. The EMG signal of person A and its Spectrum centroid varying with time (10 iterations)
(a)EMG signal (b)Spectrum centroid



(a)

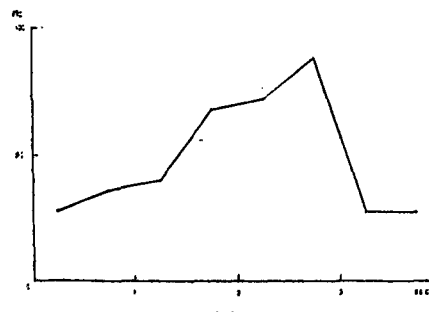
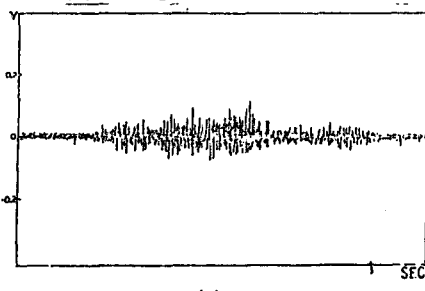
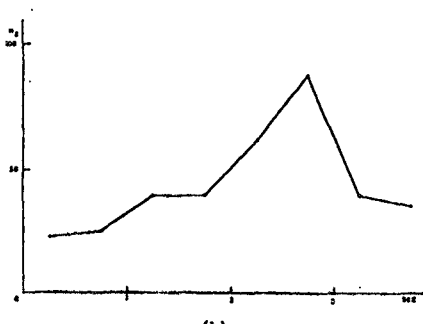


Fig.3-5. The EMG signal of person C and its Spectrum centroid varying with time (10 iterations)
(a)EMG signal (b)Spectrum centroid

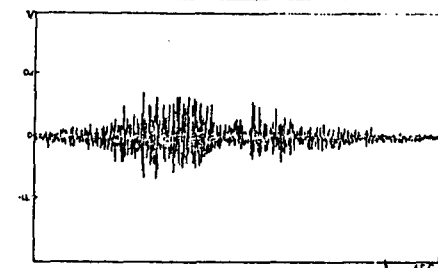


(a)

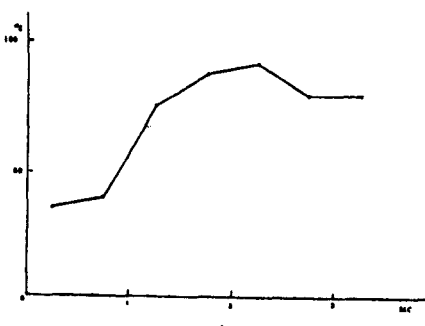


(b)

Fig.3-4. The EMG signal of person B and its Spectrum centroid varying with time (10 iterations)
(a)EMG signal (b)Spectrum centroid

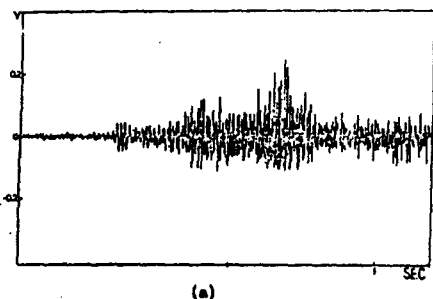


(a)

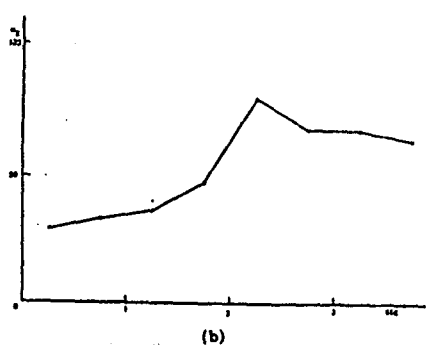


(b)

Fig.3-6. The EMG signal of person A and its Spectrum centroid varying with time (recovery state)
(a)EMG signal (b)Spectrum centroid

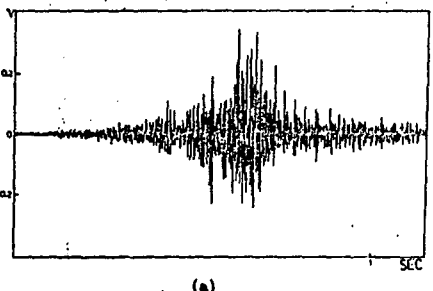


(a)

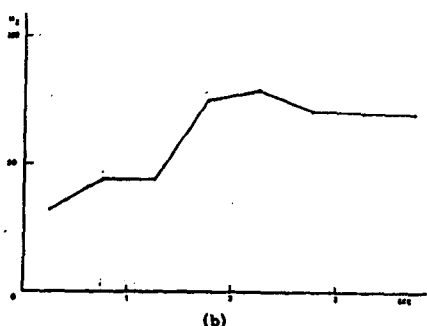


(b)

Fig. 3-7. The EMG signal of person B and its spectrum centroid varying with time (recovery state)
(a) EMG signal (b) Spectrum centroid



(a)



(b)

Fig. 3-8. The EMG signal of person C and its spectrum centroid varying with time (recovery state)
(a) EMG signal (b) Spectrum centroid

양의 결과에서 보인 바와 같이 회복상태에서 정상 근육상태로 돌아오는 과정을 노던 근육 발육상태가 좋을수록 고주파 영역의 분포가 지속성이 많은 것을 볼 수 있다. 따라서 A 경우가 회복속도가 가장 빠른 것으로 생각된다.

표 2는 피검자 A, B, C의 시간에 따른 피로상태와 회복상태의 주파수 분포를 나타내었고, 피검자 A, B, C에 대하여 하중횟수에 따른 최대 주파수 분포를 그림 3-9에 그래프로 나타내었다. 이것은 피로가 중과 회복정도를 참고할 수 있다.

Table 2. The distribution maximum frequency of fatigue state and recovery states

피검자 횟수	A	B	C
피로상태			
10회(5분)	92	88	87
80회(10분)	76	74	72
120회(15분)	72	80	76
회복상태			
30회(15분)	87	80	80

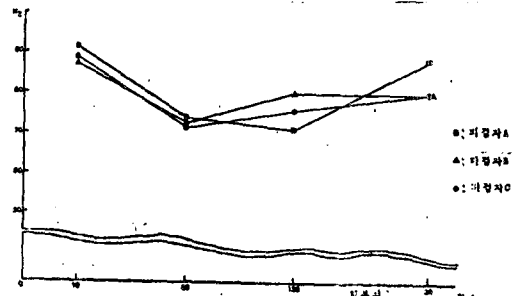


Fig. 3-9. The distribution maximum frequency varying with time for person A, B, C

IV. 결 론

피검자 10 인에 대하여 실험한 결과 중 대표적인 피검자 A, B, C의 측정 결과에서 피검자 A가 피검자 B, C에 비하여 시간에 따른 주파수 분포가 매우 높음을 알 수 있었고, 회복상태도 매우 빠름을 알 수 있었다. 그러므로 피검자 A는 피검자 B, C에 비하여 격렬한 근육운동 경기에 적합한 것으로 사료된다.

따라서, 근육이 피로한 상태에서는 주파수 분포가 저주파로 전이하고 회복상태에서는 다시 고주파로 전이됨을 알 수 있으며, 이에 따라 피로 속도와 회복시간을 측정함으로써 피검자가 운동에 적합한지를 판별할 수 있었다.

본 연구를 각종 스포츠 과학에 응용하면 우수선수 선발 등 임상진단에 좋은 참고가 될 것으로 기대된다.

참 고 문 헌

- Chaffin, D.B., 1969: Surface electromyograph frequency analysis as a diagnostic tool. J. O.M., pp.109-115
- De Luca, C.J., "Physiology and mathematics of myoelectric signals" IEEE Trans. on Biom. Eng. BME-26, pp.313-325, 1979
- L.Lindstrom, R.Magnusson, and I. Petersen "Muscular Fatigue and action potential conduction velocity changes studies with frequency analysis of EMG signal" Electromyography, Vol.10, pp.341-351, 1977

4. F.B.Stulen,C.J.De Luca "Frequency parameter of the myoelectric signal as a measure of muscle conduction velocity" IEEE Trans. Biomed. Eng., Vol.BME-28, pp.512-523, July, 1981.
5. P.A.Lynn "Direct on-line Estimation of Muscle Fiber Conduction Velocity by Surface Electromyography" IEEE Trans. Biomed. Eng., Vol. BME-26, pp.564-571, 1979.
6. M.Naeije, H.Zorn "Estimation of the Action Potential conduction Velocity in Human Skeletal Muscle using the Surface EMG Cross-Correlation Technique" Electromyogr. Clin. Neurophysiol., 23, pp.73-80, 1983.
7. Gideon F.Inbar and Antonie E.Noajaim, "On Surface EMG Spectral Characterization and its Application to Diagnostic classification" IEEE Trans. on Biom. Eng., Vol.BME-31, No.9, September, 1984.
8. Joseph Goodgold, Arthur Eberstein, 1983.: *Electrodiagnosis of neuromuscular diseases*. Williams&Wilkins, pp.56-63
9. 경영태, 구자영, 노민희, 1984, 생리학, 고문사
10. N.Hogan "A review of the methods of processing EMG for use as a proportional control signal." Biomedical Eng. pp. 80-81, 1976.
11. Vander, A.T., J.h.Sherman, and D.S.Laciano. 1975.: *Human Physiology The Mechanisms of Body Function*. 2nd editor. McGraw-Hill.
12. G.Brody, R.N.Scott, R.Balasubramanian "A model for myoelectric signal generation." Med.&Biol.Eng. pp.29-41, 1974.
13. 변윤식, 박상희 "비례제어 신호를 사용하는 근전도 신호처리 방법의 검토" 전기학회지 제3권, 제7호, pp.22-28. 1984.